

© 1994 г.

ПОГЛОЩЕНИЕ СВЕТА ДЫРКАМИ В КВАНТОВЫХ ЯМАХ

A. Г. Петров, А. Я. Шик

Физико-технический институт им. А. Ф. Иоффе Российской академии наук,
194021, Санкт-Петербург, Россия
(Получена 30 мая 1994 г. Принята к печати 7 июня 1994 г.)

Теоретически рассмотрена задача об энергетическом спектре и межподзонном поглощении света в квантовых ямах *p*-типа. Получены аналитические результаты методом теории возмущений в модели Латтинжера, где в качестве возмущения рассматривается волновой вектор дырки в плоскости ямы. При концентрациях дырок, соответствующих реальным экспериментам, адекватное описание обеспечивается 4 порядком теории возмущений. В этом приближении развит метод расчета энергетического спектра и волновых функций дырок, их статистики, матричных элементов и правил отбора для межподзональных переходов. Окончательным результатом работы является расчет спектров межуровневого поглощения для различных типов переходов.

1. Введение

Межуровневые оптические переходы в квантовых ямах (КЯ) в последнее время привлекают значительное внимание и находят важное применение в фотоприемниках инфракрасного диапазона [1]. Для полупроводников с простым параболическим законом дисперсии расчет межуровневых переходов для КЯ произвольного потенциала был произведен нами ранее [2,3]. Поскольку такой тип энергетического спектра характерен для зоны проводимости полупроводников $A^{III}B^V$, задачу теоретического описания переходов в КЯ *n*-типа можно считать в целом решенной. В то же время межуровневые переходы в КЯ *p*-типа также представляют интерес из-за ненулевого поглощения для света любой поляризации, что удобно для приборных приложений [4]. Теоретическое описание этой системы затруднено сложностью энергетического спектра дырок. Некоторые расчеты таких переходов содержатся в работах [5,6]. В первой из них [5] приведены численные расчеты для прямоугольной КЯ некоторой фиксированной толщины. Однако даже малая вариация параметров может сильно изменить конечный результат, что не позволяет выявить всего многообразия наблюдаемых эффектов и затрудняет практическое применение работы. В работе [6] авторы не учили смешивания состояний и к тому же воспользовались

моделью бесконечно глубокой ямы, что сделало их расчеты слишком грубыми.

В представленной работе развит общий подход, позволяющий получать аналитические выражения для коэффициента поглощения света в КЯ p -типа произвольной формы. Наше приближение основывается на модели Латтинжера [7] для кубического кристалла с центром инверсии, что, однако, не препятствует его использованию для системы GaAs/AlGaAs, так же как и для других полупроводников $A^{III}B^V$, поскольку нарушение инверсионной симметрии в таких полупроводниках весьма мало и почти не сказывается на энергетическом спектре [8]. Мы будем считать также, что плоскость КЯ перпендикулярна оси [100], что типично для таких структур. Такое допущение не принципиально, но существенно упрощает формулы.

2. Энергетический спектр и волновые функции

Вычисление коэффициентов межуровневого поглощения требует знания энергетического спектра и волновых функций дырок в КЯ. Существует много работ, где они были определены как численно (например, [9–11]), так и аналитически [12–16]. Стандартный подход, примененный в цитированных работах, позволяет в принципе получить аналитическое выражение для волновых функций, а также уравнения для энергетического спектра в любой симметричной КЯ. Однако даже для прямоугольной конечной глубины выражения столь сложны, что не приводятся полностью в литературе (например, [14, 15]).

В представленной работе развивается подход, основанный на теории возмущений. Он позволяет достаточно просто получать выражения для межуровневых коэффициентов поглощения света для КЯ различной формы.

Для КЯ с потенциалом $V(z)$ (ось z совпадает с направлением $\langle 100 \rangle$) гамильтониан Латтинжера имеет вид

$$\hat{H} = \frac{1}{m_0} \left[(\gamma_1 + 5\gamma_2)p^2/2 - \gamma_2 \sum_i p_i^2 J_i^2 - 2\gamma_3 \sum_{i,j} p_i p_j \{J_i, J_j\} \right] + V(z). \quad (1)$$

Будем для простоты считать, что параметры Латтинжера γ_i координатно-независимы. Корректность этого предположения будет обсуждаться далее.

В плоскости КЯ система трансляционно-инвариантна и волновая функция дырок имеет вид $\Psi \sim \exp[i(k_x x + k_y y)]$. Рассмотрим закон дисперсии дырок вдоль определенного направления в \mathbf{k} -пространстве: $k_x = k \cos \phi$, $k_y = k \sin \phi$, где ось x ориентирована в направлении $\langle 010 \rangle$. Вводя обозначения $q = \sqrt{3}\gamma_3 \exp(i\phi)$, $p = \sqrt{3}(\gamma_2 \cos 2\phi - i\gamma_3 \sin 2\phi)$, запишем гамильтониан в следующей форме:

$$\hat{H} = \hat{H}_0 + k \hat{W}_1 + k^2 \hat{W}_2, \quad (2)$$

$$\hat{H}_0 = -\frac{\hbar^2}{2m_0} \begin{pmatrix} \gamma_1 - 2\gamma_2 & 0 & 0 & 0 \\ 0 & \gamma_1 + 2\gamma_2 & 0 & 0 \\ 0 & 0 & \gamma_1 + 2\gamma_2 & 0 \\ 0 & 0 & 0 & \gamma_1 - 2\gamma_2 \end{pmatrix} \frac{\partial^2}{\partial z^2} + V(z)\hat{I},$$

$$\hat{W}_1 = -\frac{\hbar^2}{m_0} \begin{pmatrix} 0 & q^* & 0 & 0 \\ -q & 0 & 0 & 0 \\ 0 & 0 & 0 & -q^* \\ 0 & 0 & q & 0 \end{pmatrix} \frac{\partial}{\partial z},$$

$$\hat{W}_2 = \frac{\hbar^2}{2m_0} \left[\begin{pmatrix} \gamma_1 + \gamma_2 & 0 & 0 & 0 \\ 0 & \gamma_1 - \gamma_2 & 0 & 0 \\ 0 & 0 & \gamma_1 - \gamma_2 & 0 \\ 0 & 0 & 0 & \gamma_1 + \gamma_2 \end{pmatrix} + \begin{pmatrix} 0 & 0 & p & 0 \\ 0 & 0 & 0 & p \\ p^* & 0 & 0 & 0 \\ 0 & p^* & 0 & 0 \end{pmatrix} \right]. \quad (3)$$

Базис матриц выбран таким образом, чтобы матрица полного углового момента J_z была диагональна с собственными значениями $3/2, 1/2, -1/2, -3/2$. Символ \hat{I} обозначает единичный оператор.

Используем для решения уравнения Шредингера теорию возмущений, рассматривая в качестве возмущения члены уравнения (2), содержащие k . Для оптических переходов, где $\Delta k = 0$, максимальный волновой вектор дырки при низких температурах определяется импульсом Ферми $\hbar k_F$. Нетрудно показать, что по крайней мере для КЯ с шириной $2a < 150 \text{ \AA}$ (практически наиболее интересная область) при концентрациях дырок в яме вплоть до $1.5 \cdot 10^{12} \text{ см}^{-2}$ выполняется условие $ak_F < 1$ (см. разд. 4). Как будет видно далее, при этом для описания интересующих нас эффектов вполне достаточно 4 порядка теории возмущений. Для прямоугольной КЯ два первых члена (приближение эффективной массы) были получены недавно в работе [16].

Уровень энергии дырок в КЯ характеризуются четырьмя квантовыми числами: типом дырок при $k = 0$ (h или l для углового момента, равного $\pm 3/2$ или $\pm 1/2$ соответственно); главным квантовым числом для дырки данного типа ($h1, h2, h3, \dots$ или $l1, l2, l3, \dots$); знаком компоненты углового момента¹ и волновым вектором \mathbf{k} в плоскости КЯ. Для сокращения записи три первых квантовых числа (например $(h, 1, +)$) иногда будут обозначаться буквой α .

Невозмущенные уровни энергии $E_\alpha(0)$ и волновые функции ψ_α определяются из двух независимых уравнений Шредингера с массой тяжелой и легкой дырки:

$$-\frac{\hbar^2}{2m_{h(l)}} \frac{\partial^2 \psi_\alpha}{\partial z^2} + [V(z) - E_\alpha(0)]\psi_\alpha = 0,$$

¹ Точнее, два различных состояния, обозначаемые нами $+$ и $-$, описываются соответственно симметричной и антисимметричной комбинацией $+1/2$ и $-1/2$ состояний ($+3/2$ и $-3/2$ для тяжелых дырок). Для симметричной КЯ состояния « $+$ » и « $-$ » вырождены при всех k .

$$m_{h(l)} = \frac{m_0}{\gamma_1 \mp 2\gamma_2}. \quad (4)$$

Полная волновая функция дырки — четырехкомпонентный спинор (обозначается подчеркиванием) — для невозмущенных состояний равна

$$\underline{\Psi}_\alpha(0, z) = \begin{pmatrix} C_1 \\ C_2 \\ C_3 \\ C_4 \end{pmatrix} \psi_\alpha(z),$$

где $C_2 = C_3 = 0$ для тяжелых дырок и $C_1 = C_4 = 0$ для легких.

Для ненулевых k можно написать разложение по k для закона дисперсии

$$\begin{aligned} E_\alpha(k) &= E_\alpha(0) + \frac{\partial E_\alpha}{\partial k} \Big|_0 k + \frac{1}{2} \frac{\partial^2 E_\alpha}{\partial k^2} \Big|_0 k^2 + \dots \equiv \\ &\equiv E_\alpha(0) + \mu_1^\alpha k + \mu_2^\alpha k^2 + \mu_3^\alpha k^3 + \mu_4^\alpha k^4 + \dots \end{aligned} \quad (5)$$

и волновой функции

$$\begin{aligned} |h, N, \pm\rangle &\equiv \underline{\Psi}_\alpha(k, z) = \underline{\Psi}_\alpha(0, z) + \frac{\partial \underline{\Psi}_\alpha}{\partial k} \Big|_0 k + \frac{1}{2} \frac{\partial^2 \underline{\Psi}_\alpha}{\partial k^2} \Big|_0 k^2 + \dots \equiv \\ &\equiv \underline{\chi}_0^\alpha + k \underline{\chi}_1^\alpha + k^2 \underline{\chi}_2^\alpha + \dots \end{aligned} \quad (6)$$

Коэффициенты μ_i^α из уравнения (5) и функции $\underline{\chi}_i^\alpha(z)$ из (6) при одном и том же α связаны между собой. Эту связь можно найти с помощью известной квантово-механической теоремы: $\langle \partial H / \partial \lambda \rangle_\alpha = \partial E / \partial \lambda$, где λ — параметр, а $\langle \dots \rangle_\alpha$ означает усреднение по состоянию α . Рассматривая волновой вектор k как параметр λ , получим

$$\langle \partial \hat{H} / \partial k \rangle_\alpha = \partial E / \partial k = \langle \hat{W}_1 + 2k \hat{W}_2 \rangle_\alpha = \sum_{n=1}^{\infty} n \mu_n^\alpha k^{n-1}. \quad (7)$$

Вычисляя $\langle \hat{W}_1 + 2k \hat{W}_2 \rangle_\alpha \equiv \langle \underline{\chi}_0^\alpha + k \underline{\chi}_1^\alpha + \dots | \hat{W}_1 + 2k \hat{W}_2 | \underline{\chi}_0^\alpha + k \underline{\chi}_1^\alpha + \dots \rangle_\alpha$ и приравнивая члены одинакового порядка по k в обоих сторонах уравнения (7), имеем

$$\begin{aligned} \mu_1^\alpha &= \langle \underline{\chi}_0^\alpha | \hat{W}_1 | \underline{\chi}_0^\alpha \rangle = 0, \\ \mu_2^\alpha &= \langle \underline{\chi}_1^\alpha | \hat{W}_1 | \underline{\chi}_0^\alpha \rangle + \langle \underline{\chi}_0^\alpha | \hat{W}_2 | \underline{\chi}_0^\alpha \rangle, \\ \mu_3^\alpha &= 1/3 \left[\langle \underline{\chi}_1^\alpha | \hat{W}_1 | \underline{\chi}_1^\alpha \rangle + 2 \langle \underline{\chi}_2^\alpha | \hat{W}_1 | \underline{\chi}_1^\alpha \rangle + 4 \langle \underline{\chi}_1^\alpha | \hat{W}_2 | \underline{\chi}_2^\alpha \rangle \right], \\ \mu_4^\alpha &= 1/2 \left[\langle \underline{\chi}_3^\alpha | \hat{W}_1 | \underline{\chi}_0^\alpha \rangle + \langle \underline{\chi}_2^\alpha | \hat{W}_1 | \underline{\chi}_1^\alpha \rangle + 2 \langle \underline{\chi}_2^\alpha | \hat{W}_2 | \underline{\chi}_0^\alpha \rangle + \langle \underline{\chi}_1^\alpha | \hat{W}_2 | \underline{\chi}_1^\alpha \rangle \right]. \end{aligned} \quad (8)$$

Теперь основная проблема состоит в нахождении $\underline{\chi}_i^\alpha$. Разлагая \hat{H} , E_α и Ψ_α по k (смотри уравнения (2), (5), (6)), имеем

$$[\hat{H}_0 - E_\alpha(0)\hat{I}] \sum_{n=0}^{\infty} \underline{\chi}_n^\alpha k^n = - [k\hat{W}_1 + k^2 (\hat{W}_2 - \mu_2^\alpha \hat{I}) - k^3 \mu_3^\alpha] \sum_{n=0}^{\infty} \underline{\chi}_n^\alpha k^n. \quad (9)$$

Так как $[\hat{H}_0 - E_\alpha(0)\hat{I}] \underline{\chi}_0^\alpha = 0$, уравнение (9) может быть формально записано в интегральной форме:

$$\begin{aligned} & \underline{\chi}_1^\alpha + k\underline{\chi}_2^\alpha + k^2\underline{\chi}_3^\alpha + \dots = \\ & = \int_{-\infty}^{\infty} dz' \mathcal{G}(z, z') \left\{ k\hat{W}_1 \underline{\chi}_0^\alpha + k^2 [\hat{W}_1 \underline{\chi}_1^\alpha + (\hat{W}_2 - \mu_2^\alpha \hat{I}) \underline{\chi}_0^\alpha] + \right. \\ & \quad \left. + k^3 [\hat{W}_1 \underline{\chi}_2^\alpha + (\hat{W}_2 - \mu_2^\alpha \hat{I}) \underline{\chi}_1^\alpha - \mu_3^\alpha \hat{I} \underline{\chi}_0^\alpha] + \dots \right\}, \end{aligned} \quad (10)$$

где $\mathcal{G}(z, z')$ — матричная функция Грина для уравнения Шредингера нулевого порядка (4), представляющая диагональную матрицу с компонентами $G_h(z, z')$, $G_l(z, z')$, $G_{hl}(z, z')$, $G_{lh}(z, z')$, которые находятся из уравнения

$$-\frac{\hbar^2}{2m_{h(l)}} \frac{\partial^2 G_{h(l)}}{\partial z^2} + [V(z) - E] G_{h(l)} = \delta(z - z'). \quad (11)$$

В уравнении (10) в качестве аргумента E из $G(z, z')$ следует брать $E_\alpha(0)$. Уравнение (11) дает рекуррентную формулу для $\underline{\chi}_i^\alpha$:

$$\begin{aligned} \underline{\chi}_1^\alpha &= \int_{-\infty}^{\infty} dz' \mathcal{G}(z, z') \hat{W}_1 \underline{\chi}^\alpha(z'), \\ \underline{\chi}_2^\alpha &= \int_{-\infty}^{\infty} dz' \mathcal{G}(z, z') \left[\hat{W}_1 \underline{\chi}_1^\alpha(z') + (\hat{W}_2 - \mu_2^\alpha \hat{I}) \underline{\chi}_0^\alpha(z') \right], \\ \underline{\chi}_3^\alpha &= \int_{-\infty}^{\infty} dz' \mathcal{G}(z, z') \left[\hat{W}_1 \underline{\chi}_2^\alpha(z') + (\hat{W}_2 - \mu_2^\alpha \hat{I}) \underline{\chi}_1^\alpha(z') - \mu_3^\alpha \hat{I} \underline{\chi}_0^\alpha(z') \right]. \end{aligned} \quad (12)$$

Формулы (3), (6), (8), (12) дают окончательный результат для волновой функции

$$\begin{aligned} |h, N, \pm\rangle &= \frac{1}{\sqrt{2||pq|}} \left\{ h\psi_{h,N}(z) + (l\hbar^2 k|q|/m_0) \int_{-\infty}^{\infty} dz' G_l(z, z') \psi'_{h,N}(z') \mp \right. \\ &\mp l\hbar^2 k^2 |p|/2m_0 \int_{-\infty}^{\infty} dz' G_l(z, z') \psi_{h,N}(z') + (l\hbar^2 k^3 |q|/m_0) \times \\ &\times [\mu_2^\alpha - \hbar^2(\gamma_1 - \gamma_2)/m_0] \iint_{-\infty}^{\infty} dz' dz'' G_l(z, z') G_l(z', z'') \psi_{h,N}(z'') \left. \right\} \end{aligned} \quad (13)$$

$$\begin{aligned}
 \mu_2^\alpha &= \frac{\hbar^2(\gamma_1 + \gamma_2)}{2m_0} + \frac{\hbar^4|q|^2}{m_0^2} \iint_{-\infty}^{\infty} dz dz' G_l(z, z') \psi'_{h,N}(z) \psi'_{h,N}(z'), \\
 \mu_3^\alpha &= \mp \frac{\hbar^4|pq|}{m_0^2} \iint_{-\infty}^{\infty} dz dz' G_l(z, z') \psi_{h,N}(z) \psi'_{h,N}(z'), \\
 \mu_4^\alpha &= \left(\frac{\hbar^2|p|}{2m_0} \right)^2 \iint_{-\infty}^{\infty} dz dz' G_l(z, z') \psi_{h,N}(z) \psi_{h,N}(z') - \frac{\hbar^4|q|^2}{m_0} \times \\
 &\times \left[\mu_2^\alpha - \frac{3\hbar^3(\gamma_1 + \gamma_2)}{2m_0} \right] \int_{-\infty}^{\infty} dz \left[\int_{-\infty}^{\infty} dz' G_l(z, z') \psi_{h,N}(z') \right]^2 \equiv \mu_{4a}^\alpha |p|^2 + \mu_{4i}^\alpha
 \end{aligned} \tag{14}$$

уровней, происходящих из состояний тяжелых дырок. Для получения состояний $|l, N, \pm\rangle$ необходимо сделать замены $l \rightarrow h$, $h \rightarrow l$, $\gamma_2 \rightarrow -\gamma_2$, $k \rightarrow -k$, а также поменять знак у μ_3 . В написанных формулах спиноры

$$\underline{h} = \begin{pmatrix} \sqrt{q^* p} \\ 0 \\ 0 \\ \pm\sqrt{qp^*} \end{pmatrix}, \quad \underline{l} = \begin{pmatrix} 0 \\ \sqrt{q^* p} \\ \pm\sqrt{qp^*} \\ 0 \end{pmatrix},$$

описывают основные состояния тяжелой и легкой дырок. Для упрощения последующих выражений мы разделили μ_4^α на изотропную (μ_{4a}^α) часть и часть $\mu_{4i}^\alpha |p|^2$, содержащую угловую зависимость.

Ряд теорий возмущений хорошо сходится, если энергии состояний тяжелой и легкой дырок при $k = 0$ сильно различны [8]. Для КЯ с типичными характерными параметрами это условие может нарушаться только для пары уровней $h_3 - l_2$. Наше приближение применимо при условии $[E_{h3}(0) - E_{l2}(0)]^2 \gg 3(m_l/m_h)(\hbar^2 k_F \gamma_3/m_0 a)^2$. Для КЯ $\text{Al}_{0.2}\text{Ga}_{0.8}\text{As}-\text{GaAs}-\text{Al}_{0.2}\text{Ga}_{0.8}\text{As}$ данное условие может нарушаться при ширине КЯ, близкой к 73 Å.

Для частного случая прямоугольной КЯ шириной $2a$ и глубиной U уравнение (14) дает

$$\begin{aligned}
 \mu_2^\alpha &= \frac{\hbar^2}{2m_h} \left[1 + \frac{3(\gamma_2^2 - \gamma_3^2)}{\gamma_2(\gamma_1 - 2\gamma_2)} - \frac{3(\gamma_3/\gamma_2)^2}{2(1 + \varkappa_h a)} \left(1 - \frac{\lambda(1 - \nu^2)}{\nu^2 \sigma_l} \right) \right], \quad \mu_3^\alpha = 0; \\
 \mu_{4a}^\alpha &= \frac{\hbar^2}{8m_0 k_h^2} \left\{ 1 - \frac{\nu^2}{1 + \varkappa_h a} \left[1 - \frac{(1 + \nu^2)m_0(1 - \lambda^{-1})}{2\gamma_2^2 m_l \nu^2} \left(1 - (1 - \lambda)\rho_l^{-1} \right) \right] \right\}; \\
 \mu_{4i}^\alpha &= -\frac{3\gamma_3^2 [\mu_2^\alpha - 3\hbar^2/2m_0(\gamma_1 - \gamma_2)]}{8\gamma_2^2 k_h^2 (1 + \varkappa_h a)} \left\{ \frac{1 + \nu^2}{\nu^2} \left[\varkappa_h a (\beta_l^{-2} + \sigma_l^{-2}) - \frac{\lambda\nu^{-1}}{\beta_l \sigma_l} + \right. \right. \\
 &+ \frac{\lambda\nu^2}{\sigma_l^2} \left. \right] + (\varkappa_h a - 1 - \nu^2) - \frac{\gamma_1 + 2\gamma_2}{\gamma_2} \left[\sigma_l^{-1} \left(\nu^2 + \frac{\nu^{-2} - \nu^2}{\lambda} \right) + \nu^{-1} \beta_l^{-1} \right] \left. \right\}, \tag{15}
 \end{aligned}$$

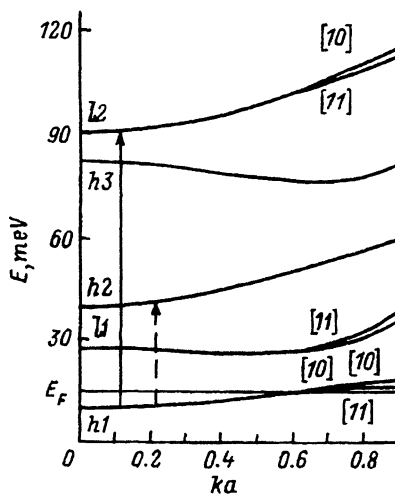


Рис. 1. Энергетический спектр КЯ $\text{Al}_{0.2}\text{Ga}_{0.8}\text{As}-\text{GaAs}-\text{Al}_{0.2}\text{Ga}_{0.8}\text{As}$ с $2a = 80 \text{ \AA}$. Переходы, разрешенные при $k = 0$ в z - и ϕ' -поляризации, показаны соответственно пунктирной и сплошной линией.

где $\sigma_l = 1 \pm \nu^{-1}(\operatorname{tg} k_l a)^{\pm 1}$, $\rho_l = 1 \mp \nu(\operatorname{tg} k_l a)^{\mp 1}$, $\beta_l = \pm \sigma_l (\operatorname{tg} k_l a)^{\mp 1}$, $\lambda = \sqrt{m_h/m_l}$, $k_h = \hbar^{-1} \sqrt{2m_h E_\alpha(0)}$, $\varkappa_h = \hbar^{-1} \sqrt{2m_h [U - E_\alpha(0)]}$, $\nu = k_h/\varkappa_h$, верхний и нижний знак соответствует симметричному и антисимметричному состояниям. В качестве примера на рис. 1 показан энергетический спектр прямоугольной КЯ, вычисленный по формулам данного раздела. В области $k < a^{-1}$ он отличается от результатов точного численного расчета [14] менее чем на 10%.

В асимметричной КЯ (например, в присутствии внешнего электрического поля) вырождение состояний + и - снимается. Расщепление определяется коэффициентом μ_3^α и может быть вычислено с помощью уравнения (14). Так как в некоторых случаях переходы между состояниями + и - могут быть запрещены (см. разд. 3), необходимо знать, какой из подуровней (+ или -) имеет большую энергию. Если энергетические уровни при $k = 0$ чередуются как $h1, l1, h2, h3, l2$, то глубже находится подзона, соответствующая состояниям +, +, -, + и - соответственно.

До сих пор мы считали параметры Латтинжера γ_i координатно-независимыми. Различие γ_i в разных слоях гетероструктуры приведет к сдвигу энергии уровня при $k = 0$ (в основном для легких дырок) и к изменению параметров μ_i . Обычно этот эффект мал. Например, относительное изменение μ_2 определяется фактором $\Delta\gamma_3/\gamma_3 \sqrt{m_e/m_h} E/U$, который, как правило, много меньше единицы по крайней мере в структурах $\text{Al}_x\text{Ga}_{1-x}\text{As}-\text{GaAs}-\text{Al}_x\text{Ga}_{1-x}\text{As}$ с $x < 0.2$.

3. Оптические матричные элементы

Делая замену $\mathbf{P} \rightarrow \mathbf{P} - e\mathbf{A}/c$ в гамильтониане (1) (\mathbf{A} — векторный потенциал электромагнитной волны), мы получим следующие линейные по \mathbf{A} члены, описывающие фотон-дырочное взаимодействие:

$$\hat{V} = \frac{i\hbar e A}{c} \left[\begin{pmatrix} m_h^{-1} & 0 & 0 & 0 \\ 0 & m_l^{-1} & 0 & 0 \\ 0 & 0 & m_l^{-1} & 0 \\ 0 & 0 & 0 & m_l^{-1} \end{pmatrix} \frac{\partial}{\partial z} + \frac{k}{m_0} \begin{pmatrix} 0 & q^* & 0 & 0 \\ -q & 0 & 0 & 0 \\ 0 & 0 & 0 - q^* & 0 \\ 0 & 0 & q & 0 \end{pmatrix} \right] \quad (16)$$

для поляризованного света, и

$$\hat{V}_{q'} = -\frac{\hbar e A}{m_0 c} \left[- \begin{pmatrix} 0 & q'^* & 0 & 0 \\ -q' & 0 & 0 & 0 \\ 0 & 0 & 0 & -q'^* \\ 0 & 0 & q' & 0 \end{pmatrix} \frac{\partial}{\partial z} + \cos(\phi - \phi') \times \right.$$

$$\left. \times \begin{pmatrix} \gamma_1 + \gamma_2 & 0 & 0 & 0 \\ 0 & \gamma_1 - \gamma_2 & 0 & 0 \\ 0 & 0 & \gamma_1 - \gamma_2 & 0 \\ 0 & 0 & 0 & \gamma_1 + \gamma_2 \end{pmatrix} + k \begin{pmatrix} 0 & 0 & p' & 0 \\ 0 & 0 & 0 & p' \\ p'^* & 0 & 0 & 0 \\ 0 & p'^* & 0 & 0 \end{pmatrix} \right] \quad (17)$$

для света, поляризованного в плоскости xy , где ϕ' — угол между осью x и высокочастотным электрическим полем, $q' = \sqrt{3}\gamma_3 \exp[i(\phi - \phi')]$, $p' = \sqrt{3}[\gamma_2 \cos(\phi + \phi') - i\gamma_3 \sin(\phi + \phi')]$. Разумеется, операторы \hat{V}_z и $\hat{V}_{\phi'}$ являются эрмитовыми. Заметим, что не только \hat{V}_z , но и $\hat{V}_{\phi'}$ содержит члены, не зависящие от k . В случае $\hat{V}_{\phi'}$ они описывают конверсию тяжелой дырки в легкую (или наоборот). При этом фотон должен иметь спин ± 1 , что возможно только для нормально падающего света.

Рассмотрим теперь матричные элементы $\langle \alpha | \hat{V}_z | \beta \rangle$ и $\langle \alpha | \hat{V}_{\phi'} | \beta \rangle$. Прежде всего заметим, что для z поляризации разрешены переходы только между состояниями с одной и той же комбинацией компонент углового момента ($+ \rightarrow +$ или $- \rightarrow -$). Для ϕ' -поляризации все переходы, т.е. $+ \rightarrow +$, $- \rightarrow -$, $+ \rightarrow -$ и $- \rightarrow +$, имеют одноковую вероятность.

Операторы \hat{V}_z и $\hat{V}_{\phi'}$ линейны по $\partial/\partial z$. В то же самое время волновые функции дырок (13) выражаются через функции нулевого порядка ψ_{α} и их производные. Следовательно, интересующие нас матричные элементы содержат три типа интегралов перекрытия между состояниями

$$\begin{aligned} P_{hM}^{lN} &= \int_{-\infty}^{\infty} dz \psi'_{hN}(z) \psi_{lM}(z), \\ Q_{hM}^{lN} &= \int_{-\infty}^{\infty} dz \psi_{hN}(z) \psi_{lM}(z), \\ R_{hM}^{lN} &= \int_{-\infty}^{\infty} dz \psi'_{hN}(z) \psi'_{lM}(z), \end{aligned} \quad (18)$$

и аналогичные интегралы, содержащие состояния одного типа (e.g., P_{hM}^{hN}). В симметричной КЯ, где волновые функции ψ_α имеют определенную четность, формула (18) дает ненулевые значения интегралов только для P , содержащих состояния разной четности (например, P_{h1}^{l2} или P_{h1}^{h2}), а также для Q и R с состояниями однократной четности (например, Q_{h1}^{l3} или R_{h1}^{h3}). Более того, в случае бесконечно глубокой ямы все Q и R пропорциональны δ_{MN} . Наконец, для переходов между состояниями одного типа для любой формы КЯ $Q_{hM}^{hN} = Q_{lM}^{lN} = \delta_{MN}$.

В модели прямоугольной КЯ конечной глубины конкретные выражения для интегралов перекрытия весьма просты. Используя те же обозначения, что и в (15), для переходов, разрешенных по четности, имеем

$$\begin{aligned} Q_{hM}^{lN} &= \frac{2}{\varkappa_{lN} + \varkappa_{hM}} \sqrt{\frac{E_{lN} E_{hM}}{(\varkappa_{lN}^{-1} + a)(\varkappa_{hM}^{-1} + a)}} \cdot \frac{m_h - m_l}{E_{hM} m_h - E_{lN} m_l}, \\ P_{hM}^{lN} &= Q_{hM}^{hN} \frac{m_l \varkappa_{hM} + m_h \varkappa_{lN}}{m_l - m_h}, \\ R_{hM}^{lN} &= Q_{hM}^{hN} \frac{2m_l m_h (E_{lN} - E_{hM})}{\hbar^2 (m_h - m_l)}. \end{aligned} \quad (19)$$

Свет с различной поляризацией вызывает различные типы межуровневых переходов. Рассмотрим их по отдельности.

3.1. *Поляризация.* Все переходы можно условно разбить на две группы — с изменением «типа» дырок и без оного. В последнем случае получается

$$\begin{aligned} \langle h, N, \pm | \hat{V}_z | h, M, \pm \rangle &= \frac{i \hbar e A}{cm_h} \left[P_{hM}^{hN} + \frac{\hbar^2 k^2 |q|^2}{m_0^2} \sum_{lJ, lL} \frac{P_{lJ}^{lN} P_{hM}^{lL} P_{hN}^{lJ}}{\omega_{hN, lL} \omega_{hM, lJ}} + \right. \\ &\quad \left. + \frac{\hbar k^2 |q|^2 m_h}{m_0} \sum_{lL} \frac{\omega_{hN, hM} Q_{hN}^{lL}}{\omega_{hM, lL} \omega_{hN, lL}} \left(\frac{m_h}{m_0} P_{hM}^{lL} \pm \frac{|p|}{|q|} k Q_{hM}^{lJ} \right) \right], \end{aligned} \quad (20)$$

где $\hbar \omega_{hM, lJ} = E_{hM}(0) - E_{lJ}(0)$. Первое слагаемое соответствует известному результату в модели эффективной массы и имеет порядок $\hbar e A / (cm_h(l) a)$. Если этот переход запрещен по четности (например

$h1 \rightarrow h3$ в симметричной КЯ), то все члены в (20) исчезают и первый ненулевой член возникает лишь в 3 порядке по k , в силу чего является очень малым.

Переход с конверсией дырки разрешен только при $k \neq 0$ и описывается следующим матричным элементом:

$$\langle l, N, \pm | \hat{V}_z | h, M, \pm \rangle = \frac{i\hbar\epsilon A}{cm_0} \left[k|q| \left(\frac{4\gamma_2\hbar^2}{m_0\omega_{lN,hM}} R_{hM}^{lN} - Q_{hM}^{lN} \right) \pm \right. \\ \left. \pm \frac{2\gamma_2\hbar^2 k^2 |p|}{m_0\omega_{lN,hM}} P_{lN}^{hM} \right]. \quad (21)$$

3.2 *ф-поляризация*. Здесь ситуация в некотором смысле противоположна ранее рассмотренному случаю. В частности, при $k = 0$ разрешен только переход между состояниями тяжелой и легкой дырки:

$$\langle l, N, + | \hat{V}_{\phi'} | h, M, \pm \rangle = \frac{\hbar\epsilon A}{cm_0} \left[\tilde{q} P_{hM}^{lN} \pm \tilde{p} k Q_{hM}^{lN} + \frac{\hbar k^2 |q| \cos(\phi - \phi')}{m_0} \times \right. \\ \left. \times \left(\frac{2\gamma_2 P_{hM}^{lN}}{\omega_{lN,hM}} + \frac{\hbar |q|^2}{m_0} \sum_{hL,lJ} \frac{P_{lJ}^{hL} P_{lN}^{hL} P_{hM}^{lJ}}{\omega_{lN,hL} \omega_{hM,lJ}} \right) \right]. \quad (22)$$

Здесь введены обозначения $\tilde{p} = (pp^* \pm p^*p)/2|p|$, $\tilde{q} = (q'q^* \pm q^{*'}q)/2|q|$. Для перехода из состояния $\langle l, N |$ мы должны заменить знак перед \tilde{p} и \tilde{q} в уравнениях (22) и (23). Мы не учли здесь малый вклад от резонансных состояний над ямой. Сходимость этого ряда лучше, чем ряда для волновых функций. Как уже отмечалось, для справедливости нашего пертурбационного подхода последний член в (22) не должен содержать малых знаменателей, отвечающих вырождению возбужденных состояний (например, $h3$ и $l2$).

Первый член в формуле (22) похож на соответствующий член в (20) и отличается только численным множителем $\gamma_3/(\gamma_1 - 2\gamma_2)$. Однако здесь имеется линейный по k член. Для переходов, запрещенных по четности, он является основным, и эти переходы не так подавлены, как соответствующие переходы в *z*-поляризации.

Переходы между дырочными состояниями одного и того же типа описываются следующими матричными элементами:

$$\langle h, N, + | \hat{V}_{\phi'} | h, M, \pm \rangle = \frac{\hbar\epsilon A}{cm_0} \left[k \cos(\phi - \phi') (\gamma_1 + \gamma_2) \delta_{NM} + \right. \\ \left. + \frac{\hbar k |q| \tilde{q}}{m_0} \sum_{lJ} \left(\frac{P_{hN}^{lJ} P_{hM}^{lJ}}{\omega_{hN,lJ}} + \frac{P_{hN}^{lJ} P_{hM}^{lJ}}{\omega_{hM,lJ}} \right) + \right. \\ \left. + \frac{\hbar k^2}{m_0} (2|q|\tilde{p} - |p|\tilde{q}) \sum_{lJ} \left(\frac{Q_{hN}^{lJ} P_{hM}^{lJ}}{\omega_{hN,lJ}} + \frac{Q_{hN}^{lJ} P_{hM}^{lJ}}{\omega_{hM,lJ}} \right) \right]. \quad (23)$$

Заметим, что переходы между подуровнями + и - одного уровня в асимметричной КЯ описываются этим выражением.

Если параметры Латтинжера γ_i различны в разных слоях структуры, то формула (23) должна быть слегка модифицирована, так же как это было ранее сделано для КЯ n -типа для случая разных эффективных масс в слоях [2]. Матричный элемент в (23) является единственным, где различие γ_i в разных слоях может привести к заметному эффекту.

4. Статистика вырожденного двумерного газа

Для того чтобы в конечном счете вычислить коэффициенты междуровневого поглощения света вырожденным дырочным газом в КЯ, мы должны знать, помимо оптических матричных элементов, значения фермиевского волнового вектора k_F , определяющие область фазового пространства, где возможны переходы. Это особенно важно для переходов, запрещенных при $k = 0$ и, следовательно, имеющих более сильную зависимость от k .

Допустим, что заселен дырками только один квантовый уровень $h1$. Найдем критерий того, что это условие выполнено. Если рассматривать симметричную КЯ и пренебречь гофрировкой изоэнергетических поверхностей, полагая $\mu_3^{h1} = 0$ и $\mu_{4a}^{h1} = 0$, то $k_F = (2\pi n)^{1/2}$ (n — концентрация дырок), то условие заполнения одного уровня можно записать в виде

$$E_2(0) - E_{h1}(0) > 2\pi n(\mu_2^{h1} + 2\pi\mu_4^{h1}n), \quad (24)$$

где E_2 — энергия первого возбужденного уровня, которым является либо состояние $h2$, либо $l1$. Для КЯ GaAs-Al_xGa_{1-x}As почти при любых x и a $E_{h1}(0)$ лежит глубже в яме, чем $E_{h2}(0)$, и условие (24) выполняется при $n < 2 \cdot 10^{12}$ см⁻².

Гофрировка изоэнергетической поверхности приводит к появлению зависимости фермиевского волнового вектора от угла ϕ . Эта зависимость

$$k_F^2(\phi) = \frac{\sqrt{(\mu_2^{h1})^2 + 4[E_F - E_{h1}(0)]\mu_4^{h1}(\phi)} - \mu_2^{h1}}{2\mu_4^{h1}(\phi)} \quad (25)$$

прямо получается из закона дисперсии (5) заменами $E_{h1}(k) \rightarrow E_F$, $k \rightarrow k_F$.

Выразим теперь $k_F(\phi)$ через n вместо E_F , используя для этого условие нормировки $n = 1/(4\pi^2) \int_0^{2\pi} d\phi k_F^2(\phi)$. Разумеется, наша теория возмущений верна, только когда член в (5), содержащий k^n , уменьшается с n и, в частности, когда $\mu_2^{h1} \ll \mu_4^{h1}k^2$. При этом второй член под знаком корня в (25) меньше первого и

$$k_F^2(\phi) \simeq 2\pi n - \frac{6\pi^2 n^2 \mu_{4a}^{h1}}{\mu_2^{h1}} (\gamma_3^2 - \gamma_2^2) \cos(4\phi). \quad (26)$$

Среднее по углам от второго члена равно нулю.

На рис. 2 показана концентрационная зависимость E_F и экстремальных значений фермиевского волнового вектора ($k_F(0)$, $k_F(\pi/4)$), соответствующих направлениям [10] и [11] в плоскости xy , для частного случая прямоугольной КЯ конечной глубины.

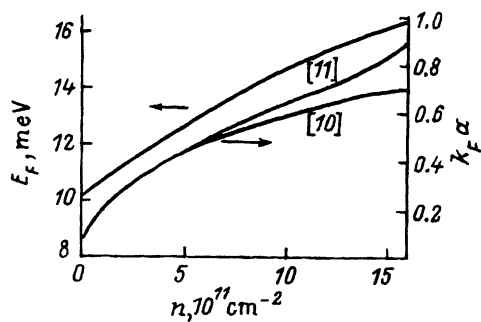


Рис. 2. Концентрационные зависимости фермиевской энергии (слева) и волнового вектора для двух направлений (справа) в КЯ $\text{Al}_{0.2}\text{Ga}_{0.8}\text{As}-\text{GaAs}-\text{Al}_{0.2}\text{Ga}_{0.8}\text{As}$ с $2a = 80 \text{ \AA}$.

В симметричной квантовой яме с $\mu_3^{h1} \neq 0$ члены 3 порядка в законе дисперсии (5) приводят к добавочному расщеплению энергетического спектра, и состояния $+k$ и $-k$ имеют различные энергии, образуя две разные ветви спектра (рис. 3, c). Пренебрегая членами 4 и более высоких порядков, получаем

$$k_F^\pm = \sqrt{2\pi n} \pm \pi n \mu_3^{h1} / \mu_2^{h1}. \quad (27)$$

5. Спектры межподзонного поглощения

Линия поглощения, вызванного переходом дырок из основного $h1$ в некоторое возбужденное состояние α , описывается коэффициентом поглощения

$$K(\omega) = \frac{c}{n_\omega \omega A^2} \iint d^2k |e_\omega \langle \alpha | \hat{V} | h, 1 \rangle|^2 f(E_{h1}(k)) \delta[E_\alpha(k) - E_{h1}(k) - \hbar\omega]. \quad (28)$$

Здесь \hat{V} — оператор фотон-дырочного взаимодействия с компонентами (16), (17); n_ω — показатель преломления на частоте света ω ; e — орт

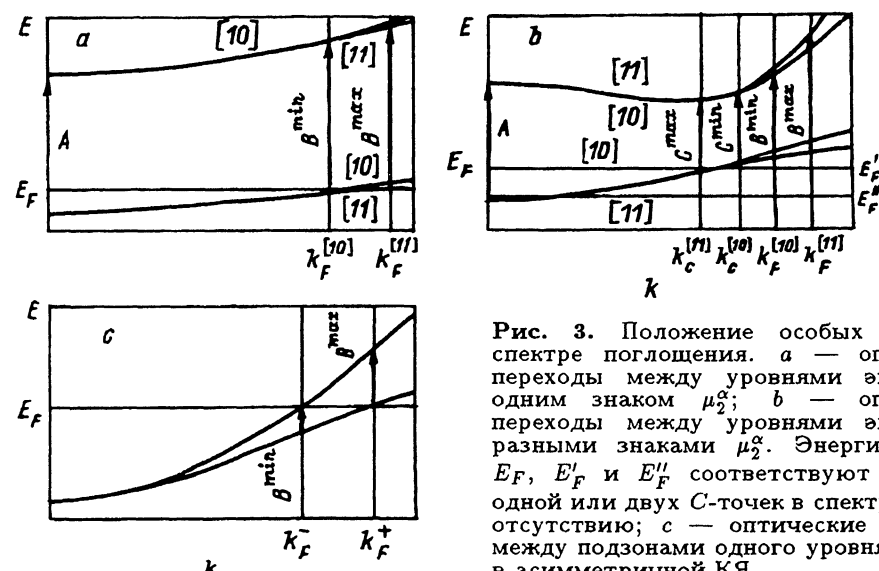


Рис. 3. Положение особых точек в спектре поглощения. а — оптические переходы между уровнями энергии с одним знаком μ_2^α ; б — оптические переходы между уровнями энергии с разными знаками μ_2^α . Энергии Ферми E_F , E'_F и E''_F соответствуют наличию одной или двух C -точек в спектре или их отсутствию; в — оптические переходы между подзонами одного уровня энергии в асимметричной КЯ.

поляризации; $f(E)$ — функция Ферми. Мы будем полагать температуру равной нулю и заменять $f(E)$ единичной ступенькой. Заметим, что в двумерных системах $K(\omega)$ в отличие от коэффициента поглощения в массивных образцах является безразмерной величиной.

В симметричной КЯ с $\mu_3^\alpha = 0$ аргумент δ -функции в (28) можно записать в виде $\Delta\mu_2^\alpha k^2 + \Delta\mu_4^\alpha k^4 + \Delta\epsilon$, где $\Delta\epsilon = E_\alpha(0) - E_{h1}(0) - \hbar\omega$, а $\Delta\mu_i^\alpha$ представляет разность μ_i^α для состояний α и $h1$. Заметим, что в отличие от закона дисперсии для отдельного состояния в рассматриваемой энергетической разности члены $\sim k^2$ и $\sim k^4$ могут быть одного порядка. Удобно ввести обозначения $D(\phi) = (\Delta\mu_2^\alpha)^2 - 4\Delta\mu_4^\alpha(\phi)\Delta\epsilon$, $k_\pm^2(\phi) = [-\Delta\mu_2^\alpha \pm \sqrt{D(\phi)}]/2\Delta\mu_4^\alpha(\phi)$. Поскольку $\delta[E_\alpha(k) - E_{h1}(k) - \hbar\omega] = \sum_\pm k_\pm^{-1} D^{-1/2} \delta(k - k_\pm)$, интегрирование по k в (28) дает

$$K(\omega) = \frac{c}{2n_\omega\omega A^2} \sum_\pm \int_0^{2\pi} d\phi \frac{|\mathbf{e}_\omega \langle \alpha | \hat{\mathbf{V}} | h, 1 \rangle|^2}{\sqrt{D(\phi)}} \theta[D(\phi)] \theta[k_\pm^2] \theta[k_F^2(\phi) - k_\pm^2(\phi)], \quad (29)$$

где $\theta(x)$ — единичная функция Хевисайда. Заметим, что из-за факто-ра $\Delta\epsilon$ величины D и k_\pm являются функциями частоты света ω . При этом корни аргументов θ -функции определяют критические частоты, соответствующие краям полосы поглощения, а также другим особым точкам в спектре.

В принципе матричный элемент $\langle \alpha | \hat{\mathbf{V}} | h, 1 \rangle$ зависит также от ϕ . Но эта зависимость появляется только в высоких порядках теории возмущений, не изменяет положение особых точек и далее не будет учитываться.

Анализ зависимостей D от ω и k_\pm от ω дает три типа особых точек $K(\omega)$. Рассмотрим их последовательно.

5.1. Особенность типа A: $\hbar\omega = E_\alpha(0) - E_{h1}(0)$ ($\Delta\epsilon = 0$). Форма полосы поглощения в окрестности края, соответствующего $k = 0$, определяется матричным элементом $\langle \alpha | \hat{\mathbf{V}} | h, 1 \rangle$, описанным в разд. 3. Если переход разрешен, и значит, матричный элемент почти не зависит от k , то спектр в этой точке имеет ступеньку, характерную для двумерной плотности состояний. Если же переход запрещен и $\langle \alpha | \hat{\mathbf{V}} | h, 1 \rangle \sim k^n$, то

$$K(\omega) = \sim \left(-\frac{\Delta\epsilon(\omega)}{\Delta\mu_2^\alpha} \right)^n \theta \left(-\frac{\Delta\epsilon(\omega)}{\Delta\mu_2^\alpha} \right). \quad (30)$$

5.2. Особенность типа B: $\hbar\omega = E_\alpha(0) - E_{h1}(0) + k_F^2 (\Delta\mu_2^\alpha + k_F^2 \Delta\mu_4^\alpha)$. Отсутствие гофрировки энергетического спектра этот край полосы поглощения, связанный с фермиевской энергией, представлял бы собой вертикальную ступеньку, слегка размытую при ненулевой температуре. Но в действительности фермиевский волновой вектор k_F различен для разных направлений в \mathbf{k} -пространстве (см. (26)), и этот спектральный край имеет место не при одной фиксированной ω , а в некотором интервале частот, соответствующем k_F , изменяющемся от $k_F(0) = 2\pi n - 6\pi^2 n^2 \mu_{4a}^{h1} (\gamma_3^2 - \gamma_2^2) / \mu_2^{h1}$ до $k_F(\pi/4) = 2\pi n + 6\pi^2 n^2 \mu_{4a}^{h1} (\gamma_3^2 - \gamma_2^2) / \mu_2^{h1}$. Для вычисления $K(\omega)$ в этом интервале мы заметим, что $k_F^2(\phi)$ дается урав-

нением (26) и $k_+^2 \simeq -\Delta\epsilon/\Delta\mu_2^\alpha$, что определит форму края полосы поглощения:

$$K(\omega) \sim \pi - \arccos \left\{ \frac{2\pi n + \Delta\epsilon(\omega)/\Delta\mu_2^\alpha}{6(\gamma_3^2 - \gamma_2^2) \left[(\Delta\epsilon(\omega))^2/8(\Delta\mu_2^\alpha)^3 - \pi^2 n^2 \mu_{4a}^\alpha / \mu_2^{h1} \right]} \right\} \quad (31)$$

Если $\mu_{4a} \rightarrow 0$, то анизотропия исчезает и (31) преобразуется в вертикальную ступеньку.

Из рис. 3,а видно, что при $\mu_2^\alpha > \mu_2^{h1}$ особенность *A*-типа соответствует красному краю линии поглощения, тогда как выражение (31) (особая точка *B*-типа) описывает фиолетовый край. При $\mu_2^\alpha < \mu_2^{h1}$ мы имеем противоположную ситуацию. Ширина полосы в обоих случаях равна $k_F^2 |\Delta\mu_2^\alpha + k_F^2 \Delta\mu_4^\alpha|$.

Если ветви $E_{h1}(k)$ и $E_\alpha(k)$ имеют противоположную кривизну, то спектр поглощения может усложняться в связи с появлением особых точек нового типа.

5.3. Особенность типа *C*: $\hbar\omega = E_\alpha(0) - E_{h1}(0) - (\Delta\mu_2^\alpha)^2 / \Delta\mu_4^\alpha$. Этот случай соответствует точке, где разность энергий двух уровней имеет экстремум (см. рис. 3,б). Как и в разд. 5.2, анизотропия энергетического спектра вызывает появление двух особых точек (вместо одной) — C^{\min} и C^{\max} , соответствующих $\phi = 0$ и $\pi/4$. Каждая из них будет наблюдаться, если

$$k_F(\phi) \geq \Delta\mu_2^\alpha / 2\Delta\mu_4^\alpha(\phi) \quad (32)$$

с $\phi = 0$ и $\phi = \pi/4$ соответственно. Между ними

$$K(\omega) \sim \frac{1}{\sqrt{\Delta\epsilon(\omega)}} \mathbf{K} \left(\sqrt{\frac{(\Delta\mu_2^\alpha)^2 / 4\Delta\epsilon(\omega) - \Delta\mu_{4i}^\alpha - 3\gamma_2^2 \Delta\mu_{4a}^\alpha}{3(\gamma_3^2 - \gamma_2^2) \Delta\mu_{4a}^\alpha}} \right), \quad (33)$$

где \mathbf{K} — эллиптический интеграл. Около точки C^{\min} спектр поглощения имеет ступеньку

$$\begin{aligned} K(\omega) \sim & [6\Delta\mu_{4a}^\alpha (\gamma_3^2 - \gamma_2^2) \Delta\epsilon(\hbar\omega)]^{-1/2} \times \\ & \times \theta \left[(\Delta\mu_2^\alpha)^2 - 4\Delta\epsilon(\omega) (\Delta\mu_{4i}^\alpha + 3\gamma_2^2 \Delta\mu_{4a}^\alpha) \right], \end{aligned} \quad (34)$$

а около C^{\max} имеет место логарифмическая расходимость

$$k(\omega) \sim \ln \left| \frac{32\Delta\epsilon(\hbar\omega) \Delta\mu_{4a}^\alpha (\gamma_3^2 - \gamma_2^2)}{\Delta\mu_2^\alpha - 4\Delta\epsilon(\hbar\omega) [\Delta\mu_{4i}^\alpha + 3\Delta\mu_{4a}^\alpha \gamma_3^2]} \right|. \quad (35)$$

В рассматриваемом случае один край полосы поглощения является точкой *A*-типа, а другой (C^{\min}) имеет вид ступеньки и описывается

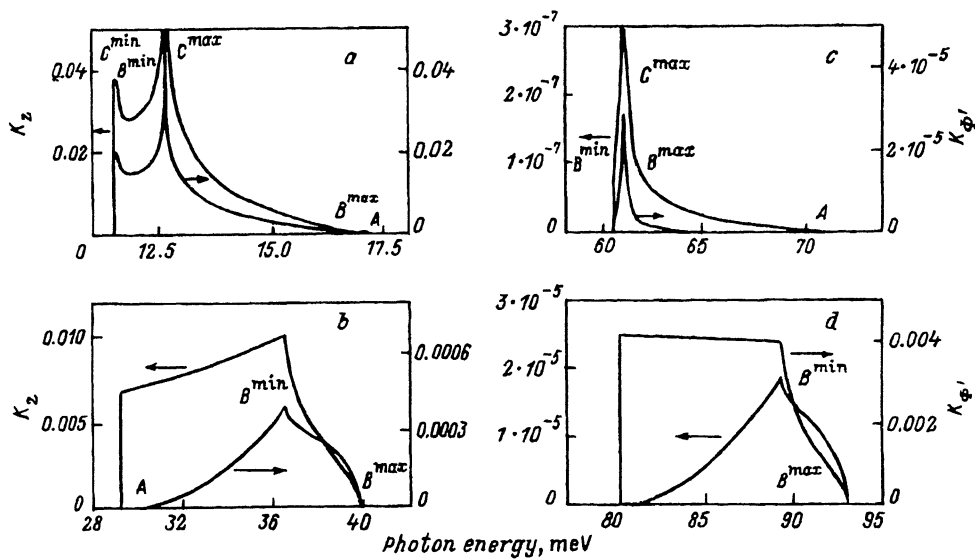


Рис. 4. Полосы оптического поглощения для различных межуровневых переходов. а — $h_1 \rightarrow l_1$; б — $h_1 \rightarrow h_2$; в — $h_1 \rightarrow h_3$; г — $h_1 \rightarrow l_2$. Левая и правая шкалы отвечают z - и ϕ' -поляризации соответственно. Кривые для ϕ' -поляризации показаны для $\phi' = 0$.

уравнением (34). Между этими точками имеется логарифмическая сингулярность (35) и два разрыва производной, соответствующие точкам B^{\min} и B^{\max} . Пример такого спектра показан на рис. 4, в.

В некотором интервале концентраций дырок (для энергии Ферми E'_F на рис. 3, б) условие (32) может выполняться только для одной из двух C -точек, причем всегда для точки, соответствующей логарифмической особенности (C^{\max}). В этом случае край поглощения лежит между частотами переходов в точках C^{\min} и B^{\min} . Простое аналитическое выражение для формы полосы вблизи края в этом случае отсутствует, но можно утверждать, что в окрестности этой точки $K(\omega)$ линейна. Пример приведен на рис. 4, в в разд. 6.1.

Электронные переходы между состояниями + и - одного уровня, которые могут иметь место в асимметричной КЯ для ϕ' -поляризации, требуют специального рассмотрения. Из рис. 3, в видно, что такие переходы возможны лишь вдали от точки $k = 0$. При этом оба края поглощения определяются положением E_F и являются аналогами точек B -типа. Используя выражение для оптических матричных элементов (23) и пренебрегая гофрировкой энергетического спектра получим вид полосы поглощения для этого случая:

$$K(\omega) = \frac{ck\hbar}{12n_{\omega}\omega A^2} (\gamma_1 + \gamma_2)^2 \sqrt[3]{\frac{\hbar\omega}{2(\mu_3^{h1})^4}} \theta(2\mu_3^{h1}(k_F^+)^3 - \hbar\omega) \theta(\hbar\omega - 2\mu_3^{h1}(k_F^-)^3), \quad (36)$$

где k_F^\pm дается формулой (27).

6. Конкретные спектры межподзонного поглощения

Для детальных количественных вычислений возьмем КЯ *p*-типа в системе $\text{Al}_{0.2}\text{Ga}_{0.8}\text{As}-\text{GaAs}-\text{Al}_{0.2}\text{Ga}_{0.8}\text{As}$, с шириной $2a = 80 \text{ \AA}$ и концентрацией дырок $n = 1.5 \cdot 10^{12} \text{ см}^{-2}$. Ее энергетический спектр вычисляется в разд. 2 и был показан на рис. 1. В соответствии с результатами разд. 4 при данной концентрации заселена только одна подзона. В яме имеется пять уровней и потому спектр поглощения будет содержать четыре полосы межуровневых переходов. Рассмотрим их форму, начиная с самого низкочастотного перехода.

6.1. *Переходы $h1 \rightarrow l1$.* В соответствии с результатами разд. 3 в симметричной КЯ этот переход запрещен в нижнем порядке теории возмущений. Несмотря на это, интенсивность линии поглощения может быть даже больше, чем у «разрешенных» переходов, рассмотренных далее в разд. 6.2 и 6.4, из-за большой плотности состояний около *C*-точки, расположенной в области больших k . Спектры поглощения для различных поляризаций почти идентичны (рис. 4,*a*) и содержат различные типы сингулярностей, описанных в разд. 5 и отмеченных на рисунке.

6.2. *Переходы $h1 \rightarrow h2$.* Эти переходы разрешены в *z*-поляризации. Поэтому линия поглощения имеет значительную амплитуду и почти прямоугольную левую часть (рис. 4,*b*). Высокочастотное крыло криевой определяется угловой зависимостью k_f и описывается выражением (31). Для ϕ' -поляризации левый край полосы пропорционален $(\Delta\epsilon)^2$.

6.3. *Переходы $h1 \rightarrow h3$.* Это также переход, запрещенный по четности со сложной структурой полосы поглощения. Его вероятность низка, особенно в области малых k , что соответствует в нашем случае высокочастотному краю полосы поглощения, причем интенсивность поглощения сильно различается для различных поляризаций (см. рис. 4,*c*), так как первый член $\sim k$ для ϕ' -поляризации и $\sim k^3$ для *z*-поляризации. Поэтому в последнем случае поглощение очень мало. В отличие от перехода $h1 \rightarrow l1$ $K(\omega)$ для данной концентрации дырок содержит две сингулярности *B*-типа и одну — *C*-типа. Такая ситуация уже обсуждалась в разд. 5.3.

6.4. *Переходы $h1 \rightarrow l2$.* Эти переходы разрешены для ϕ' -поляризации, и общая картина схожа с ситуацией для перехода $h1 \rightarrow h2$ с точностью до замены поляризаций.

7. Выводы

Мы описали спектры поглощения света для межуровневых (межподзонных) переходов в КЯ *p*-типа произвольной формы. При этом предполагалось, что дырки в полупроводнике описываются гамильтонианом Латтинжера, хорошо применимом для широкого класса кубических кристаллов. Все характеристики системы получались методами теории возмущений, в виде ряда по импульсу дырки в плоскости ямы. Для описания изучаемых явлений использовались теории возмущений до 4 порядка включительно, что оказалось достаточно для всех концентраций дырок, соответствующих реальным экспериментам.

Как показано, спектр поглощения состоит из ряда полос, соответствующих переходам между различными энергетическими уровнями. В симметричной КЯ амплитуды поглощения для различных переходов отличаются на порядки. В отличие от ям *n*-типа здесь поглощается

свет любой поляризации. Кроме того, не только амплитуда, но и форма полосы сильно зависит от номера конечного состояния, симметрии КЯ, концентрации дырок и поляризации света.

Авторы благодарят Р.А.Суриса за стимулирующее обсуждение. Работа выполнена при финансовой поддержке Российского фонда фундаментальных исследований (грант 93-02-15466) и Фонда Сороса (грант R5C000).

Список литературы

- [1] *Intersband Transition in Quantum Well*, ed. by E. Rosencher, B. Viner, B. Levine (Plenum, N.Y., 1992).
- [2] A.G. Petrov, A. Shik. Phys. Rev., **48**, 11883 (1993).
- [3] А.Г. Петров, А.Я. Шик. ФТП, **27**, 1047 (1993).
- [4] B.F. Levine, S.D. Gunapala, J.M. Kuo, S.S. Pei, S. Hui. Appl. Phys. Lett., **59**, 1964 (1991).
- [5] Y.-C. Chang, R.B. James. Phys. Rev. B, **39**, 12672 (1989).
- [6] В.Я. Алешкин, Ю.А. Романов. ФТП, **27**, 329 (1993).
- [7] J.M. Luttinger. Phys. Rev., **102**, 1030 (1956).
- [8] G. Bastard. *Wave Mechanics Applied to Semiconductor Heterostructures* (Ed. de Phys. • Les Ulis, 1988).
- [9] T. Ando. J. Phys. Soc. Japan, **54**, 1528 (1985).
- [10] D.A. Broido, L.J. Sham. Phys. Rev. B, **31**, 888 (1985).
- [11] M. Altarelli, U. Ekenberg, A. Fasolino. Phys. Rev. B, **32**, 5138 (1985).
- [12] С.С. Недорезов. ФТТ, **12**, 2269 (1970).
- [13] М.И. Дьяконов, А.В. Хаецкий. ЖЭТФ, **82**, 1584 (1982).
- [14] L.C. Andreani, A. Pasquarello, F. Bassani. Phys. Rev. B, **36**, 5887 (1987).
- [15] З.Н. Соколова, В.Б. Халфин, А.Л. Эфрос. ФТП, **22**, 2124 (1988).
- [16] Л.Г. Герчиков, А.В. Субашиев. ФТП, **27**, 446 (1993).

Редактор Т.А. Полянская
